

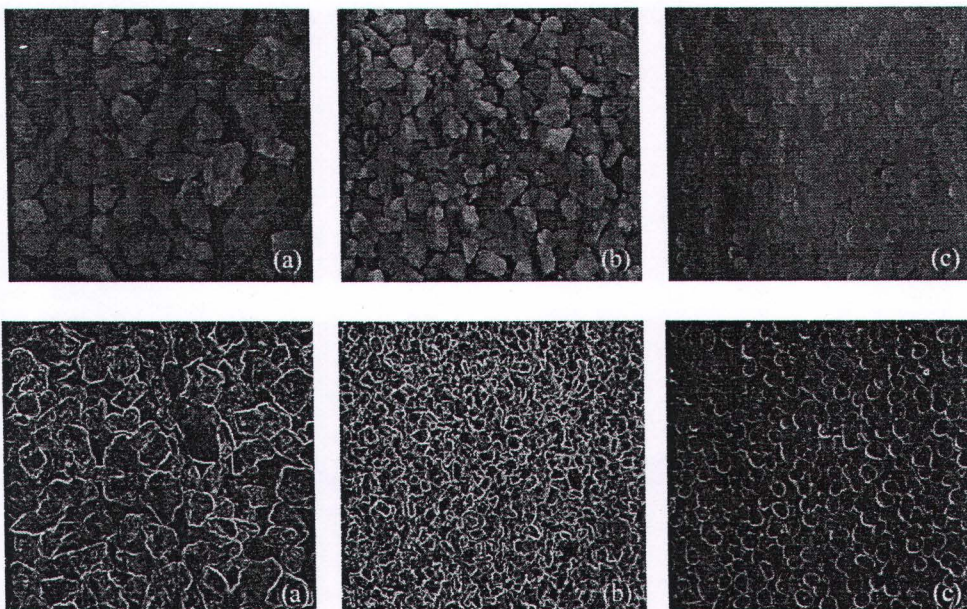


### บทที่ 3

## วิธีและขั้นตอนในการทดสอบ

### 3.1 คุณสมบัติของดินทราย

ในงานวิจัยชิ้นนี้ ดินทราย 2 ชนิดจะถูกนำมาใช้ในการทดสอบ โดยดินทรายชนิดแรก นำมาจากบริเวณชายฝั่งทะเลภาคตะวันออก จังหวัดชลบุรี โดยลักษณะของเม็ดทรายชนิดนี้จะมีลักษณะที่เป็นเหลี่ยมมุมเล็กน้อย (Sub-angular shape) และมีรูปร่างไม่เป็นทรงกลม (Low sphericity) ซึ่งดินทรายที่นำมานี้จะถูกร่อนผ่านตะแกรงตามมาตรฐานสหรัฐอเมริกา (US standard size) ทรายที่ค้างอยู่บนตะแกรงเบอร์ 16 และ 40 ที่มีขนาดเส้นผ่านศูนย์กลางเฉลี่ยของเม็ดทรายเท่ากับ 1.18 และ 0.425 มิลลิเมตรจะถูกนำมาใช้ในการทดสอบ โดยต่อไปนี้จะเรียกว่าตัวอย่างดินทรายแบบ D16 และ D40 ตามลำดับ ส่วนดินทรายชนิดที่สองจะเป็นดินทรายมาตรฐานที่มีชื่อเรียกทางการค้าว่า ทรายทดสอบซิลิกา (Silica test sand) ตามมาตรฐาน ASTM C-778#20 - 30 มีขนาดเส้นผ่านศูนย์กลางเฉลี่ยของเม็ดทรายเท่ากับ 0.60 มิลลิเมตร ลักษณะของเม็ดทรายมีลักษณะที่ไม่มีเหลี่ยมมุมและมีรูปร่างที่กลม (Rounded shape with high sphericity) รูปที่ 3.1 แสดงลักษณะเหลี่ยมมุมและรูปร่างของเม็ดทรายที่ใช้ในการทดสอบ และในตารางที่ 3-1 แสดงถึงคุณสมบัติเบื้องต้นของดินทราย เช่น ค่าอัตราส่วนช่องว่างต่ำสุดและสูงสุด ค่าความถ่วงจำเพาะของเม็ดดิน เป็นต้น



รูปที่ 3.1 ลักษณะและรูปร่างของดินทรายที่ใช้ในการทดสอบ (a) D16 (b) D40 และ (c) Silica แห่งชาติ

ห้องสมุดงานวิจัย  
วันที่..... 2 กค 2555 .....

เลขทะเบียน..... 245892 .....

เลขเรียกหนังสือ.....

ตารางที่ 3-1 คุณสมบัติของดินทรายเบื้องต้น

| Basic property                    | D16   | D40   | Silica sand                             |
|-----------------------------------|---|---|---|
| Shape of grain particle           | Low to medium sphericity with angular shape | Low to medium sphericity with angular shape | High sphericity with well rounded shape |
| Mean size particle, $d_{50}$ (mm) | 1.18  | 0.465                                       | 0.60                                    |
| Specific gravity, $G_s$           | 2.69  | 2.72  | 2.65                                    |
| Maximum void ratio, $e_{max}$     | 1.06  | 1.12  | 0.6                                     |
| Minimum void ratio, $e_{min}$     | 0.713                                       | 0.808                                       | 0.459                                   |

### 3.2 อุปกรณ์ที่ใช้ในการวิจัย

ในงานวิจัยนี้จะแบ่งการทดสอบออกเป็น 2 ส่วนหลัก ๆ คือ

1) การหาค่าความเร็วคลื่นแรงเฉือนในเครื่องมือทดสอบความไม่สม่ำเสมอของดิน โดยจะดำเนินการทดสอบเพื่อกำหนดค่าความอ่อนไหว และ ความน่าเชื่อถือ (Sensitivity and Reliability tests) ซึ่งจะทำให้การปรับปรุงเครื่องมือเพื่อให้สามารถสร้างตัวอย่างดินทรายที่มีรูปแบบของความไม่สม่ำเสมอของความหนาแน่นในรูปแบบที่กำหนด เพื่อศึกษาการเปลี่ยนแปลงของความเร็วคลื่นแรงเฉือนในตัวอย่างดินเหล่านั้น เพื่อกำหนดค่าความอ่อนไหว (Sensitivity) ของการทดสอบ เครื่องมือและอุปกรณ์ที่ใช้ในการทดสอบ ดังนี้

- อุปกรณ์ทดสอบความไม่สม่ำเสมอของตัวอย่างดิน
- คอมพิวเตอร์สำหรับเก็บข้อมูลการทดสอบ
- Bender Element
- เครื่องกำเนิดสัญญาณทางไฟฟ้า (Signal generator)
- เครื่องแปลสัญญาณคลื่น (Oscilloscope)

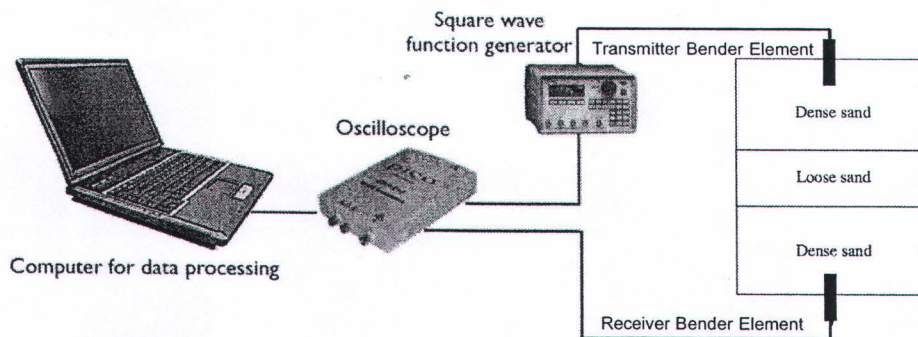
โดยลักษณะการเชื่อมต่ออุปกรณ์สำหรับการทดสอบแสดงดังรูปที่ 3.2

2) การหาค่าความเร็วคลื่นแรงเฉือนในเครื่องมือทดสอบแรงอัดสามแกน เพื่อสร้างความสัมพันธ์ระหว่างความเร็วคลื่นแรงเฉือน ความหนาแน่น และ สภาวะของหน่วยแรงของดินทรายที่ใช้ในการทดสอบ ทั้งนี้การทดสอบจะประกอบไปด้วยการทดสอบแบบแรงอัดสามแกนแบบไม่ระบายน้ำโดยใช้ตัวอย่างดินทรายที่มีสภาวะการอัดตัวคายน้ำแบบเท่ากันทุกทิศทาง (Isotropic) โดยความหนาแน่นของตัวอย่างดินที่ใช้จะมีค่าครอบคลุมค่าอัตราส่วนความหนาแน่นสูงสุด และ ต่ำสุด ซึ่งเครื่องมือที่ใช้ในการทดสอบนี้ จะต้องได้รับการปรับปรุงจนสามารถวิเคราะห์ความหนาของบริเวณที่เกิด Localization ได้อย่างค่อนข้างแม่นยำ โดยจะทำการติดตั้งอุปกรณ์ส่ง

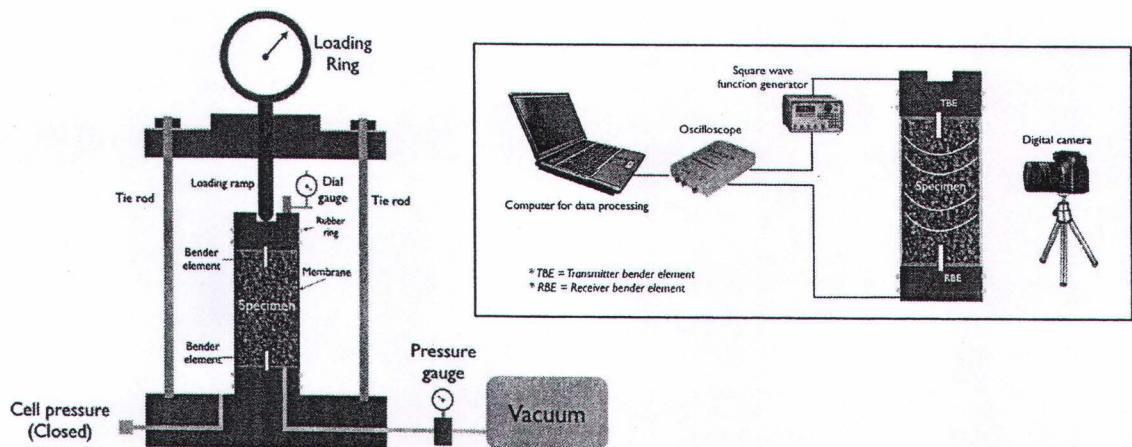
และตรวจจับคลื่นแรงเฉือนจำนวน 2 ชุด และมีระบบวิเคราะห์ภาพถ่ายประกอบ เครื่องมือและอุปกรณ์ที่ใช้ในการทดสอบ ดังนี้

- เครื่องมือทดสอบแบบแรงอัดสามแกน
- Membrane ที่มีการวาดตารางขนาดประมาณ 5 x 5 มิลลิเมตร เพื่อช่วยในการตรวจสอบความเครียดและขอบเขตของ Localization
- ปัมสุญญากาศ (Vacuum)
- คอมพิวเตอร์สำหรับเก็บข้อมูลการทดสอบ
- Bender Element
- เครื่องกำเนิดสัญญาณทางไฟฟ้า (Signal generator)
- เครื่องแปลสัญญาณคลื่น (Oscilloscope)
- กล้องถ่ายภาพนิ่งความละเอียด 6 ล้านพิกเซล

โดยลักษณะการเชื่อมต่ออุปกรณ์สำหรับการทดสอบแสดงดังรูปที่ 3.3



รูปที่ 3.2 อุปกรณ์การทดสอบความไม่สม่ำเสมอของดินทรายโดยใช้คลื่นแรงเฉือน



รูปที่ 3.3 อุปกรณ์การทดสอบเพื่อศึกษาพฤติกรรมการเกิด Localization บนเครื่องแรงอัดสามแกน โดยมีการวิเคราะห์ภาพถ่าย

### 3.3 วิธีเตรียมตัวอย่างและวิธีการทดสอบ

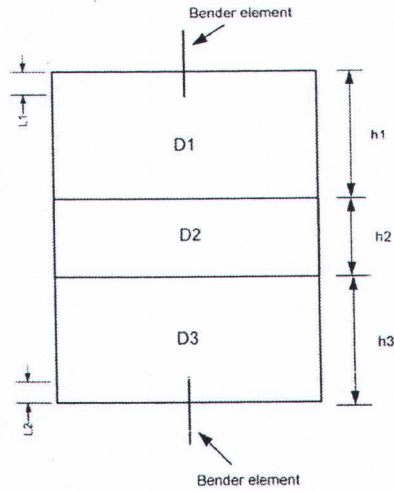
3.3.1 การเตรียมตัวอย่างและขั้นตอนในการทดสอบสำหรับทดสอบในเครื่องทดสอบความไม่สม่ำเสมอของดินทราย

#### ขั้นตอนที่ 1

1. นำตัวอย่างทรายไปล้างน้ำให้สะอาดหลังจากนั้นนำเข้าเตาอบเป็นเวลา 1 คืน เพื่อให้ตัวอย่างดินทรายแห้งสนิท
2. นำตัวอย่างมาร้อนผ่านตะแกรงโดยคัดขนาดที่มากกว่าตะแกรงเบอร์ 8 และผ่านตะแกรงเบอร์ 200 ออก
3. เตรียมตัวอย่างโดยการปล่อยทรายให้ตกแบบอิสระผ่านกรวยกลมในเครื่องมือทดสอบให้ได้ความสูงของตัวอย่างประมาณ 10 เซนติเมตร
4. นำตัวอย่างไปชั่งน้ำหนักเพื่อหาความหนาแน่นแห้งของตัวอย่างดินทราย โดยให้ตัวอย่างดินทรายอยู่ในสภาพหลวมมาก ( $D_r \sim 10\%$ )
5. นำตัวอย่างที่เตรียมเรียบร้อยแล้วติดตั้ง Dial gauge เพื่อวัดการทรุดตัวของตัวอย่าง
6. ใส่น้ำหนักกระทำไปบนตัวอย่าง ดังนี้ 5, 10, 15, 20, 25 kPa จากนั้นวัดความเร็วคลื่นแรงเฉือนในแต่ละน้ำหนักที่กระทำ
7. ทำการทดสอบใหม่ โดยเปลี่ยนความหนาแน่นของตัวอย่างเป็น สภาพแน่นปานกลาง ( $D_r \sim 45\%$ ) และ สภาพแน่นมาก ( $D_r \sim 75\%$ ) ตามลำดับและปฏิบัติเช่นเดียวกันกับข้อ 5 และ 6

#### ขั้นตอนที่ 2

1. เตรียมตัวอย่างทรายโดยให้ตัวอย่างทรายมีความหนาแน่นที่แตกต่างกันดังรูปที่ 3.4 และตารางที่ 3-2
2. ในการเตรียมตัวอย่างนั้น ในชั้น D1 และ D3 จะกำหนดเป็นสภาพแน่น (Dense) ส่วนในชั้น D2 จะกำหนดให้เป็นสภาพหลวม (Loose) และขณะที่กำลังเตรียมตัวอย่างให้ทำการหาความหนาแน่นของตัวอย่างในแต่ละชั้นที่เตรียมตัวอย่างด้วย
3. นำตัวอย่างที่เตรียมเรียบร้อยแล้วติดตั้ง Dial gauge เพื่อวัดการทรุดตัวของตัวอย่าง
4. ใส่น้ำหนักกระทำไปบนตัวอย่าง ดังนี้ 5, 10, 15, 20, 25 kPa วัดความเร็วคลื่นแรงเฉือนในแต่ละน้ำหนักที่กระทำ
5. ทำการทดสอบเงื่อนไข 3 ตัวอย่างแล้วทดสอบเงื่อนไขใหม่ ดังตารางที่ 3-2 และปฏิบัติเช่นเดียวกับข้อ 2 ถึง 4 ตามลำดับ



รูปที่ 3.4 ลักษณะของตัวอย่างดินทรายที่ทำการทดสอบความไม่สม่ำเสมอของตัวอย่างดินโดยการวัดคลื่นแรงเฉือน

ตารางที่ 3-2 ค่าความสูงของตัวอย่างดินทรายในการทดสอบความไม่สม่ำเสมอของดิน

| Type | h1 (cm) | D1 (cm) | h2 (cm) | D2 (cm) | h3 (cm) | D3 (cm) |
|------|---------|---------|---------|---------|---------|---------|
| A    | 4       | Dense   | 2       | Loose   | 4       | Dense   |
| B    | 5       | Dense   | 1       | Loose   | 4       | Dense   |
| C    | 4       | Loose   | 2       | Dense   | 4       | Loose   |
| D    | 5       | Loose   | 1       | Dense   | 4       | Loose   |

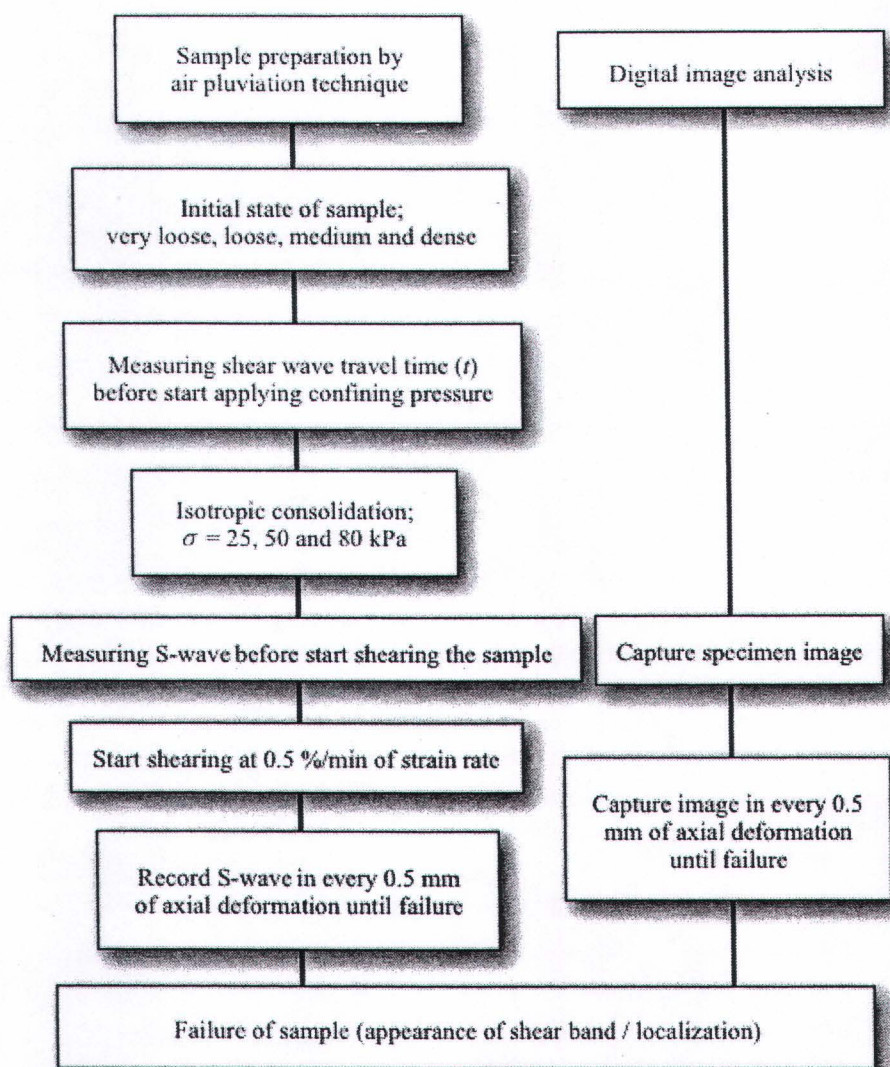
### 3.3.2 การเตรียมตัวอย่างและขั้นตอนในการทดสอบในเครื่องแรงอัดสามแกน

1. สวม Rubber membrane ที่มีการตีตารางขนาดประมาณ 5 x 5 มิลลิเมตรลงบนฐานของเครื่องทดสอบแรงอัดสามแกน
2. ชั่งน้ำหนักดินทรายตามน้ำหนักที่ใช้ในแต่ละการทดสอบ โดยน้ำหนักทรายที่ชั่งควรมีน้ำหนักมากกว่าน้ำหนักที่ใช้ในตัวอย่างเล็กน้อย
3. ติดตั้งกระบอกผ้าไวบนฐานของเครื่องทดสอบให้ครอบ Rubber membrane ไว้และในส่วนด้านบนของกระบอกผ้าให้พับ Rubber membrane ที่พันออกมาคลุมกระบอกผ้าไว้
4. เปิดปั๊มดูดอากาศประมาณ 5 – 10 kPa เพื่อให้ Rubber membrane ที่อยู่ในกระบอกผ้าตึงแนบสนิทเพื่อป้องกันช่องว่างระหว่างการใส่ตัวอย่างดินทรายลงในกระบอกผ้า

5. ใส่ทรายที่เตรียมไว้ลงใน Rubber membrane ด้วยวิธีการตกแบบอิสระ (Air pluviation) ผ่านกรวยกลม โดยกำหนดระยะห่างระหว่างปลายกรวยกับผิวบนของทรายใน Mold ให้เท่ากันตลอดในขณะเตรียมตัวอย่าง โดยระยะการตกของทรายขึ้นอยู่กับความแน่นของทราย เริ่มต้นที่ต้องการทดสอบ โดยระยะตกกระทบที่มากขึ้นจะทำให้ตัวอย่างที่ได้มีความแน่นมากยิ่งขึ้น

6. เมื่อทรายที่เตรียมไว้ถูกปล่อยให้อยู่ใน Mold จนเต็มพอดี ให้ปาดผิวหน้าสุดท้ายของทรายให้เรียบแล้วค่อย ๆ ติดตั้ง Top cap ลงบนผิวหน้าของตัวอย่างทราย จากนั้นพับปลายของ Rubber membrane ที่เหลือปิดหุ้ม Top cap สุดท้าย จากนั้นใส่ O-Ring ที่ Top cap เพื่อป้องกันการไหลผ่านของอากาศออกจากตัวอย่าง

โดยขั้นตอนในการทดสอบและบันทึกค่าการทดสอบแสดงได้ดังรูปที่ 3.5



รูปที่ 3.5 ขั้นตอนการทดสอบวัดคลื่นแรงเฉือนในตัวอย่างดินทรายบนเครื่องแรงอัดสามแกน

ตารางที่ 3-3 แสดงถึงสภาวะต่าง ๆ ในการทดสอบ (Testing conditions) รวมถึงขนาดของตัวอย่างดินทรายที่ใช้ในการทดสอบบนเครื่องทดสอบแบบแรงอัดสามแกน

ตารางที่ 3-3 แสดงสภาวะต่าง ๆ ในการทดสอบและขนาดของตัวอย่างในการทดสอบดินทรายบนเครื่องมือแรงอัดสามแกน

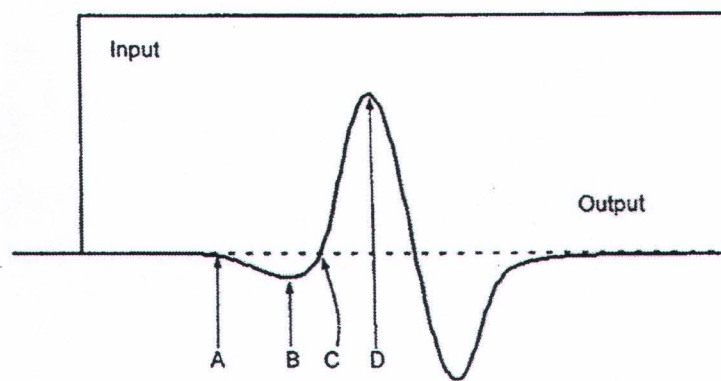
| Sand   | Confining pressure (kPa) | Relative density |        | Specimen dimension |         |                         | Image capture |     |
|--------|--------------------------|------------------|--------|--------------------|---------|-------------------------|---------------|-----|
|        |                          |                  |        | H (cm)             | D* (cm) | Slenderness ratio (H/D) |               |     |
| D16    | 25                       | 43.75%           | Loose  | 11.49              | 4.79    | 2.39                    | Yes           |     |
|        |                          | 80.98%           | Dense  | 11.80              | 4.81    | 2.45                    | Yes           |     |
|        | 50                       | 47.26%           | Loose  | 11.22              | 4.82    | 2.32                    | Yes           |     |
|        |                          | 73.09%           | Dense  | 11.67              | 4.86    | 2.40                    | Yes           |     |
|        | 80                       | 38.78%           | Loose  | 11.22              | 4.87    | 2.30                    | Yes           |     |
|        |                          | 75.66%           | Dense  | 11.54              | 4.87    | 2.37                    | Yes           |     |
|        | D40                      | 25               | 28.65% | Loose              | 11.27   | 4.81                    | 2.34          | Yes |
|        |                          |                  | 79.32% | Dense              | 11.35   | 4.85                    | 2.34          | Yes |
| 50     |                          | 39.85%           | Loose  | 11.21              | 4.79    | 2.34                    | Yes           |     |
|        |                          | 81.60%           | Dense  | 11.45              | 4.82    | 2.37                    | Yes           |     |
| 80     |                          | 32.48%           | Loose  | 11.27              | 4.95    | 2.27                    | Yes           |     |
|        |                          | 81.58%           | Dense  | 11.67              | 4.78    | 2.44                    | Yes           |     |
| Silica |                          | 25               | 13.58% | Very loose         | 11.51   | 4.91                    | 2.34          | Yes |
|        |                          |                  | 56.83% | Medium             | 11.50   | 4.90                    | 2.35          | Yes |
|        | 50                       | 38.99%           | Loose  | 11.44              | 4.82    | 2.37                    | Yes           |     |
|        |                          | 77.09%           | Dense  | 11.19              | 4.87    | 2.29                    | Yes           |     |
|        | 80                       | 22.77%           | Loose  | 11.49              | 4.87    | 2.35                    | Yes           |     |
|        |                          | 60.66%           | Medium | 11.44              | 4.89    | 2.33                    | Yes           |     |

\*  $D = \frac{D_{top} + 2D_{middle} + D_{bottom}}{4}$

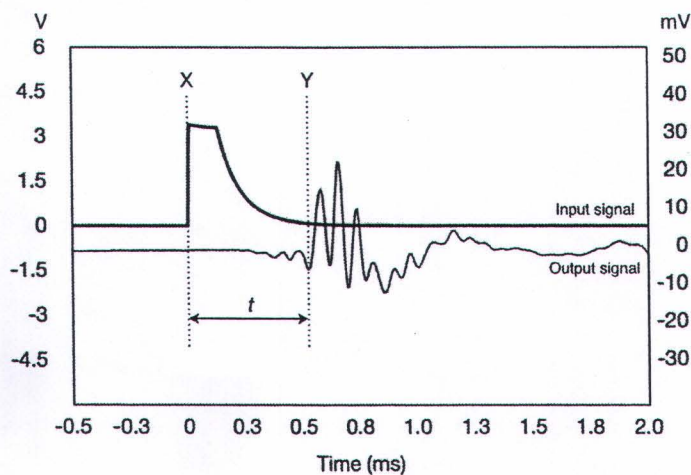
### 3.4 วิธีการคำนวณคลื่นแรงเฉือน

จากที่ได้กล่าวมาแล้วในบทที่ 2 ว่าการคำนวณหาความเร็วคลื่นแรงเฉือนนั้นสามารถคำนวณโดยใช้สมการอย่างง่ายตามสมการที่ 2.1 แต่อย่างไรก็ตาม การคำนวณหาระยะเวลาที่คลื่นแรงเฉือนคลื่นที่ผ่านตัวอย่างดินระหว่าง Bender Element 2 ตัวนั้นควรต้องมีการประเมินและระมัดระวังในการคำนวณหาค่าเวลา ( $t$ ) นี้

Lee and Santamarina (2005) ได้อธิบายถึงวิธีในการคำนวณระยะเวลาของการเดินทางของคลื่นแรงเฉือนดังรูปที่ 3.6 โดยแบ่งการพิจารณาจุดแรกของคลื่นตัวรับที่ควรใช้ในการคำนวณระยะเวลาเดินทางเป็น 4 แบบ คือ A) first deflection, B) first bump maximum, C) zero after first bump, and D) major first peak ซึ่งความยากของการพิจารณาจุดแรกที่ตัวรับสัญญาณจะรับได้นั้นเกิดขึ้นจากปรากฏการณ์ที่เรียกว่า "Near-field effect" นั่นเอง ทั้งนี้การพิจารณาว่าจุดใดเป็นจุดที่เหมาะสมเพื่อใช้ในการคำนวณระยะเวลานั้นอาจต้องพิจารณาจากตัวแปรและลักษณะต่าง ๆ ของการทดสอบนั้น ๆ ขึ้นอยู่กับการวิเคราะห์และการตีความของนักวิจัย ส่วนในการศึกษาวิจัยชิ้นนี้จะใช้จุดที่เป็นจุด B (First bump maximum) มาใช้ในการคำนวณระยะเวลาเดินทางของคลื่นแรงเฉือน (รูปที่ 3.7)



รูปที่ 3.6 แสดงการคำนวณจุดแรกของคลื่นรับ (Output signal) ที่มีผลกระทบของ Near-field แบบต่าง ๆ A) first deflection, B) first bump maximum, C) zero after first bump, and D) major first peak (Lee and Santamarina, 2005)



รูปที่ 3.7 แสดงการคำนวณจุดแรกของคลื่นรับแบบ First bump maximum